

ВЫЧИСЛЕНИЕ УДЛИНЕНИЕ СТЕРЖНЯ ОГРАНИЧЕННОЙ ДЛИНЫ ИЗ ЖАРОПРОЧНОГО ТУГОПЛАВОГО МАТЕРИАЛА ПРИ НАЛИЧИИ ТЕМПЕРАТУРЫ, ТЕПЛООБМЕНА, ТЕПЛОИЗОЛЯЦИИ И ОСЕВОЙ РАСТЯГИВАЮЩЕЙ СИЛЫ

Б.З. Кенжегулов

Атырауский государственный университет им.Х. Досмухамедова, г.Атырау

В статье приведены результаты вычисления удлинения стержня ограниченной длины из жаропрочного тугоплавкого материала при наличии температуры, теплообмена, теплоизоляции и осевой растягивающей силы.

Несущие стержневые элементы газотурбинных генераторов, реактивных двигателей, двигателей работающих на водородном топливе и т.д. испытывают большие температуры и осевых сил. По этому эти элементы изготавливаются из высококачественных жаропрочных тугоплавких сплавов которые выдерживают эксплуатационные температуры до 950°C . Предел прочности таких элементов конструкции превышают на порядок обычных сталей. В связи с этим рассмотрим вертикальный стержень из жаропрочного тугоплавкого материала. Верхней конец стержня жестко закреплена. Длина стержня L [см] на нижнем конце стержня приложена осевая растягивающая сила P [кГ]. На участке $0 \leq x \leq L_1$ стержня задано поле температур меняющейся по координате $T = T(x)$. Боковая поверхность остальной части $L_1 \leq x \leq L$ стержня полностью теплоизолирована. Через площади поперечного сечения S [см²] нижнего конца стержня происходит теплообмен с окружающей средой. При этом коэффициент теплообмена $h \left[\frac{\text{Вт}}{(\text{см}^2 \cdot ^{\circ}\text{C})} \right]$, а температура окружающей среды T_{oc} [$^{\circ}\text{C}$].

Коэффициент теплопроводности материала стержня $K_{xx} \left[\frac{\text{Вт}}{(\text{см} \cdot ^{\circ}\text{C})} \right]$, модуль упругости $E \left[\frac{\text{кГ}}{\text{см}^2} \right]$. Коэффициент теплового расширения материала α в жаропрочных тугоплавких материалах строго зависит от температуры [1] (рис.-1). В работе [1] приводятся результаты натуральных экспериментов для более тридцати видов жаропрочных тугоплавких сплавов по зависимости коэффициента теплового расширения от температуры.

Для математического описания поля распределения температуры по длине рассматриваемого стержня с учетом наличия локальной температуры, теплоизоляции, теплообмена и осевой растягивающей силы исходим из сохранения полной тепловой энергии.

Так как на участке $0 \leq x \leq L_1$ стержня задано поле температур, напишем выражение функционала J характеризующие полную тепловую энергию для оставшейся части $L_1 \leq x \leq L$ стержня с учетом теплоизоляции ее боковой поверхности, процесса теплообмена через площади поперечного сечения нижнего конца и заданного поля температур на верхнем участке $0 \leq x \leq L_1$:

$$J = \int_V \frac{K_{xx}}{2} \left(\frac{\partial T}{\partial x} \right)^2 dV + \int_S \frac{h}{2} (T - T_{oc})^2 dS \quad (1)$$

где V - объем части $L_1 \leq x \leq L$ стержня; S – площадь поперечного сечения нижнего конца стержня.

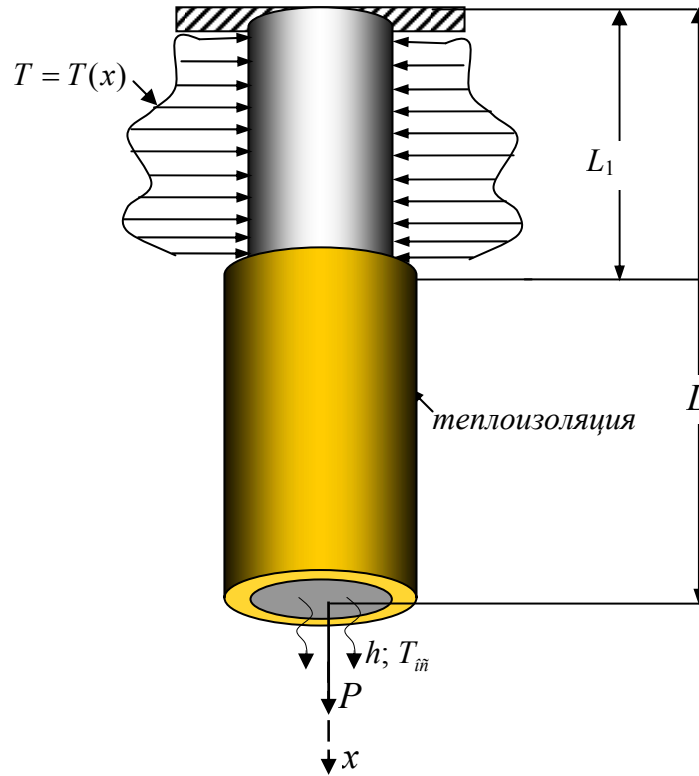


Рис.1. Расчетная схема рассматриваемой задачи

Учитывая, что рассматриваемый тепловой процесс является установившимся, то можно аппроксимировать поле распределение температуры теплоизолированной части $L_1 \leq x \leq L$ стержня с помощью гладкой кривой второго порядка

$$T(x) = ax^2 + bx + c, \quad L_1 \leq x \leq L \quad (2)$$

где $a, b, c = \text{const}$.

Если принять $T(x = L_1) = T_1$; $T(x = \frac{L-L_1}{2}) = T_2$; $T(x = L) = T_3$ то (2) можно переписать следующим образом [2]:

$$T(x) = \varphi_1(x) \cdot T_1 + \varphi_2(x) \cdot T_2 + \varphi_3(x) \cdot T_3, \quad L_1 \leq x \leq L \quad (3)$$

$$\text{где } \varphi_1(x) = \frac{\ell^2 - 3\ell x + 2x^2}{\ell^2}; \quad \varphi_2(x) = \frac{4\ell x - 4x^2}{\ell^2}; \quad \varphi_3(x) = \frac{2x^2 - \ell x}{\ell^2}; \quad (4)$$

$\ell = L - L_1$; тогда из (3) имеем, что в пределах $L_1 \leq x \leq L$

$$\frac{\partial T}{\partial x} = \frac{\partial \varphi_1}{\partial x} \cdot T_1 + \frac{\partial \varphi_2}{\partial x} \cdot T_2 + \frac{\partial \varphi_3}{\partial x} \cdot T_3, \quad L_1 \leq x \leq L \quad (5)$$

Подставляя (5) в (1) и с учетом (4) после интегрирования имеем:

$$J = \frac{K_{xx} S}{2\ell} \left[\frac{7}{3} T_1^2 - \frac{16}{3} T_1 T_2 + \frac{2}{3} T_1 T_3 - \frac{16}{3} T_2 T_3 + \frac{16}{3} T_2^2 + \frac{7}{3} T_3^2 \right] + \frac{S \cdot h}{2} (T_3 - T_{oc})^2 \quad (6)$$

Здесь сумма коэффициентов перед узловыми значениями температур равно нулю. Например, в квадратной скобке $\left[\frac{7}{3} - \frac{16}{3} + \frac{2}{3} - \frac{16}{3} + \frac{16}{3} + \frac{7}{3} \right] = 0$. Аналогичное наблюдается и в обычной скобке $(1-1)=0$.

В выражении (6) значение T_1 определяется из заданного поле температур $T = T(x)$, $0 \leq x \leq L_1$ как $T_1 = T(x = L_1)$. По этому для получение разрешающих систем линейных уравнением минимизируем функционала J по T_2 и T_3 .

$$\left. \begin{aligned} \frac{\partial J}{\partial T_2} = 0; \Rightarrow \frac{K_{xx}S}{2\ell} \left[-\frac{16}{3}T_1 - \frac{16}{3}T_3 + \frac{32}{3}T_2 \right] &= 0 \\ \frac{\partial J}{\partial T_3} = 0; \Rightarrow \frac{K_{xx}S}{2\ell} \left[\frac{2}{3}T_1 - \frac{16}{3}T_2 + \frac{14}{3}T_3 \right] + S \cdot h \cdot T_3 - S \cdot h \cdot T_{oc} &= 0 \end{aligned} \right\} \quad (7)$$

Решая эту систему определяется значение T_2 и T_3 . Уже при известных T_i ($i = 1 \div 3$) на основе (3) определяется закон распределения поле температуры на участке $L_1 \leq x \leq L$ стержня. Таким образом при известном $T = T(x)$, $0 \leq x \leq L_1$ величина удлинение стержня определяется [2, 3] следующим образом

$$\Delta \ell_T = \int_0^L \alpha(T(x)) \cdot T(x) dx \quad (8)$$

Здесь для определения $\alpha = \alpha(T(x))$ пользуемся данными натуральных экспериментов [1] по установлению зависимости $\alpha = \alpha(T)$.

Например, такая зависимость в [1] для жаропрочного тугоплавкого сплава АНВ – 300 в табличном виде имеет следующий вид:

Таблица – 1.

T [°C]	20	100	200	300	400
$\alpha \left[\frac{1}{^\circ C} \right]$	$10,1 \cdot 10^{-6}$	$11,9 \cdot 10^{-6}$	$13,2 \cdot 10^{-6}$	$14,7 \cdot 10^{-6}$	$17 \cdot 10^{-6}$
T [°C]	500	600	700	800	
$\alpha \left[\frac{1}{^\circ C} \right]$	$18,3 \cdot 10^{-6}$	$20,3 \cdot 10^{-6}$	$22 \cdot 10^{-6}$	$23,2 \cdot 10^{-6}$	

Кроме того, обрабатывая данных натуральных экспериментов, приходим к следующим данным, приведённым в таблице 2.

Таблица – 2.

№	Интервал температуры	Закон изменения $\alpha \left[\frac{1}{^\circ C} \right]$
1	$20 \leq T \leq 100$	$\alpha = 0,0225 \cdot 10^{-6} \cdot T + 9,65 \cdot 10^{-6}$
2	$100 \leq T \leq 200$	$\alpha = 0,013 \cdot 10^{-6} \cdot T + 10,6 \cdot 10^{-6}$
3	$200 \leq T \leq 300$	$\alpha = 0,015 \cdot 10^{-6} \cdot T + 10,2 \cdot 10^{-6}$
4	$300 \leq T \leq 400$	$\alpha = 0,023 \cdot 10^{-6} \cdot T + 7,8 \cdot 10^{-6}$
5	$400 \leq T \leq 500$	$\alpha = 0,013 \cdot 10^{-6} \cdot T + 11,8 \cdot 10^{-6}$
6	$500 \leq T \leq 600$	$\alpha = 0,02 \cdot 10^{-6} \cdot T + 8,3 \cdot 10^{-6}$
7	$600 \leq T \leq 700$	$\alpha = 0,017 \cdot 10^{-6} \cdot T + 10,1 \cdot 10^{-6}$
8	$700 \leq T \leq 800$	$\alpha = 0,012 \cdot 10^{-6} \cdot T + 13,6 \cdot 10^{-6}$

В качестве исходных данных примем следующие

$$a=0; b=40; c=200; T(x) = 40x + 200, 0 \leq x \leq L_1; r = 1[\text{см}]; S = \pi r^2 \quad L = 30 \text{ см}; L_1 = \frac{L}{2};$$

$$K_{xx} = 72 \left[\frac{\text{Вт}}{(\text{см} \cdot ^\circ \text{C})} \right]; h = 10 \left[\frac{\text{Вт}}{\text{см}^2} \right]; T_{oc} = 40 [^\circ \text{C}]; P = 1000 \text{ кг}; E = 2,1 \cdot 10^6 \frac{\text{кг}}{\text{см}^2}$$

При этих данных для 1-ой участки ($0 \leq x \leq L_1$) получим, что $T_1 = T(x = 0) = 200 \text{ } ^\circ \text{C}$;
 $T_2 = T(x = 7,5 \text{ см}) = 500 \text{ } ^\circ \text{C}$; $T_3 = T(x = 15 \text{ см}) = 800 \text{ } ^\circ \text{C}$; соответственно из таблицы-2 для этой участки получим, что $\alpha_1 = 13,2 \cdot 10^{-6} \left[\frac{1}{^\circ \text{C}} \right]$; $\alpha_2 = 18,3 \cdot 10^{-6} \left[\frac{1}{^\circ \text{C}} \right]$; $\alpha_3 = 23,2 \cdot 10^{-6} \left[\frac{1}{^\circ \text{C}} \right]$.

Тогда величина удлинение 1-ой участки $0 \leq x \leq L_1$ стержня будет [2,3]:

$$\Delta l_{T_1} = \int_0^{L_1} [\varphi_1(x) \cdot \alpha_1 + \varphi_2(x) \cdot \alpha_2 + \varphi_3(x) \cdot \alpha_3] \cdot (40x + 200) dx = 0,1561 [\text{см}]$$

При принятых исходных данных решая систему (7) для внешней части ($L_1 \leq x \leq L$) стержня получим

$$T_1 = T(x = L_1) = 800 [^\circ \text{C}]; \alpha_1 = 23,2 \cdot 10^{-6} \left[\frac{1}{^\circ \text{C}} \right]; T_2 = T\left(x = \frac{L - L_1}{2}\right) = 565,76 [^\circ \text{C}]$$

$$\alpha_2 = 10,6 \cdot 10^{-6} \left[\frac{1}{^\circ \text{C}} \right]; T_3 = T(x = L) = 331,53 [^\circ \text{C}]; \alpha_3 = 15,4 \cdot 10^{-6} \left[\frac{1}{^\circ \text{C}} \right];$$

Тогда величина удлинение нижней части ($L_1 \leq x \leq L$) стержня определяются следующим образом [4]

$$\Delta l_{T_2} = \int_{L_1}^L [\varphi_1(x) \cdot \alpha_1 + \varphi_2(x) \cdot \alpha_2 + \varphi_3(x) \cdot \alpha_3] \cdot (\varphi_1(x) \cdot T_1 + \varphi_2(x) \cdot T_2 + \varphi_3(x) \cdot T_3) dx = 0,17 [\text{см}]$$

Таким образом величина удлинение рассматриваемого стержня от поле распределение температуры будет

$$\Delta l_T = \Delta l_{T_1} + \Delta l_{T_2} = 0,3261 [\text{см}]$$

Если не учесть зависимости между α и T приняв значение $\alpha = 10,1 \cdot 10^{-6} \left[\frac{1}{^\circ \text{C}} \right] = const$ то при постоянном значении коэффициента теплового расширения величина удлинение стержня от поле температуры было бы

$$\Delta l_T(\alpha = const) = 0,1329 [\text{см}].$$

Отсюда видно, что для рассматриваемой задачи учет зависимости $\alpha = \alpha(T)$ приводит к увеличению удлинение стержня на 145,37 %.

В то время величина удлинения этого же стержня от осевой растягивающей силы будет [2, 3]:

$$\Delta l_p = \frac{PL}{EF} = 0,00455 [\text{см}].$$

Отсюда видно, что при имеющихся граничных условиях а также принятых исходных данных величина удлинение рассматриваемого стержня от поле температур будет больше чем удлинение от осевой растягивающей силы P в $N = \frac{\Delta l_T}{\Delta l_P} = \frac{0,3261 \text{ см}}{0,00455 \text{ см}} = 71,67$ раза.

Литература

1. Химушин Ф.Ф. Жаропрочные стали и сплавы. 2-ое переработанное и дополненное издания. М.: Металлургия, 1969.-749с.
2. Кенжегулов Б.З. Численное моделирование многомерных температурных и одномерных нелинейных термомеханических процессов в жаропрочных сплавах: док. дисс.: 05.13.18. – Алматы, 2010. – 250 с.
3. Писаренко Г.С. и др., Сопротивление материалов, “Вища Школа”, Киев, 1973, 672 с.

ТЕМПЕРАТУРА, ЖЫЛУАЛМАСУ, ЖӘНЕ СОЗУШЫ ОСТІК КҮШІ ӘСЕРІ БАР КЕЗДЕ ЫСТЫҚҚЫ БЕРІКТІ БАЯУ БАЛҚИТЫН МАТЕРИАЛДАН ЖАСАЛҒАН ҰЗЫНДЫҒЫ ШЕКТЕЛГЕН СЫРЫҚТЫҢ ҰЗАРТУЫН ЕСЕПТЕУ

Б.З. Кенжегүлов

Мақалада қызуға төзімді қиын балқитын қоспадан жасалған жоғарғы жағы мықтап бекітілген, жартылай жылу өткізбейтін қабатпен қапталған шекті ұзындықтағы сырықтың температура, жылу алмасу және созушы остік күш әсерінен ұзаруын табу мәселесі қаралады.

CALCULATION LENGTHENING OF THE CORE OF THE LIMITED LENGTH FROM HEAT RESISTING THE MATERIAL IN THE PRESENCE OF TEMPERATURE, HEAT EXCHANGE, THE THERMAL PROTECTION AND AXIAL STRETCHING FORCE

B.Z. Kenzhagulov

Finding of the lengthening peg limited length is considered In become from fervour strong tight melt material at presence of the temperature, heat of the exchange, heat to insulation and axial spraining power.